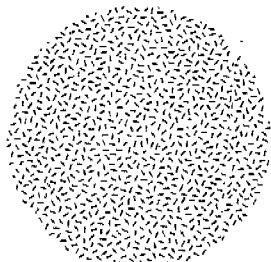


火力發電所의 汚染 物質 大氣擴散豫測

The Prediction for the Air
Pollutants Concentration
Around the Thermal Power
Plants



李 鎬 宰

韓電 電源計劃部 環境技術擔當役

1. 序 論

우리 韓國電力公社는 火力發電所의 設置前後 大氣管理를 위하여 擴散原理에 의거 大氣污染 物質이 發電所 周圍에 擴散되는 상태를豫測하고 있다.

大氣污染物質의 擴散豫測에는 해당地域內의 汚染物質 排出量과 氣象 및 地形條件에서 各種 污染物質(黃酸化物, 粉塵)의 擴散 分布 상황을豫測하고 또한 被害地點에서 各污染源別로 寄與率도 算出 할 수 있는 數學的인 方法으로 電子計算機를 利用한다

發電所 周圍 地域特性에 알맞는 擴散Model을 選定하여 效率的으로 活用할 수 있도록 現在 努力を 계속하고 있다. 여기에서는 黃酸化物의 大氣擴散모델에 대하여 記述하고자 한다.

2. 必要性

근래 우리나라 燃料 使用量은 人口都市集中 現象과 車輛增加, 工業化에 따라 현저하게 增加해 왔으며 이와 더불어 大都市와 產業都市周邊의 黃酸化物濃度增加는 주지의 事實이다. 이 黃酸化物濃度增加를 防止하는 對策으로서 低黃分燃料油의 使用 煙突의 集合高煙突化等이 채택 되어 왔다. 또한 火力發電所로서 大氣中 黃酸化物濃度 增加防止에 寄與하기 위하여 從來부터 大氣擴散效果가 큰 集合高煙突의 設置는 當然한 것이다. 또한 低黃分燃料油를 使用하면 火力發電所周圍에 주는 影響은 대단히 적다. 그러나 產業都市 全體의 汚染度를 고려해서 量의으로 限定된 低黃分燃料油消費量에 比較해 보면, 局地地域 地上濃度에 影響이 적은 火力發電所에서 常時 多量 消費하는 것은 다른 低煙突을 갖고 있는 中小企業의 排出施設에 低黃分燃料油가 配分되지 않게 되어 全體地域 汚染管理에서 블 때 좋은 對策이 되지 못한다.

이러한 理由로 火力發電所에서 그때 그때의 氣象條件에 따라 排煙이 地上黃酸化物濃度에 미치는 影響을 推定해서 燃料油 使用을 적절하게 변경 할 수 있다면 低黃分燃料油 使用量의減少와 더불어 보다 效率的인 大氣污染管理를 할 수 있다고 하겠다.

우리나라 海岸에 위치한 發電所 6個所의 海風比率은 平均 44%이고 나머지 55%는 地上에 影響을

덜 미치는 陸風이 불고 있다. 또한 하루 가운데 曙間에 부는 바람과 夜間에 부는 바람의 变化는 여름에 현저하고 겨울에는 安定하다.

大氣擴散現象의 連續的인 觀測은 적극적으로 행하여지고 있으며 大都市에서 大氣汚染監視網이 設置運用되어 監視와 함께 Data가 集積되고 있다. 이와 같이 大氣汚染狀態를 連續的으로 測定하는 目的은 汚染實態를 정확히 파악해서 長期的인 對策을樹立하고 現時點의 Data을 基礎로 하여 數時間 후의 순간汚染度를豫測하여 環境에 미치는 影響을 최소화하는데 그目的이 있다.

또한 產業都市에서 汚染物質을 排出하는 排出源이 多數 存在하고 있을때 黃酸化物의 環境濃度는 個個의 排出源에 依한 地上黃酸化物의 合으로 누적된 것이다.

監視網으로 測定되는 黃酸化物濃度도 누적된 것 이므로 排出源마다의 寄與度를 직접評價할 수는 없다. 어떤 地域에서 基準值를 넘는 黃酸化物濃度가 測定되고, 數時間 후에 高濃度가豫測되는 경우, 그 地域의 黃酸化物濃度에 대하여 各排出源의 寄與度가 評價될 수 있고 그 높은濃度에 대하여 지배적인排出源을 명확히 알 수 있다면 大氣污染制御는 보다 용이하고 합리적으로 行할 수 있다.

火力發電施設의 大氣污染이 環境에 미치는 影響은 복합적이고 多樣하므로 被害度 및 寄與率을 時期적절하게 調査 算出하는 常時体制 즉 電算處理를 할 수 있는 環境監視体制 구축이 必要하다. 또한 發電所 排出ガス가 周圍大氣質污染에 미치는 影響을 파악하고 누적치가 環境基準值를 超過해서 地上累積濃度에 대해 發電所로 인한 影響이 증가함으로 推定되는 경우, 低黃分 燃料油 供給量의 变경에 依해서 周圍의 累積濃度를 制御하는 方案이 可能하다.

發電所 建設豫想 地點의 環境狀態를豫測하여 향후 發電所稼動 후 環境變化狀態를 調査 적절한 防止施設의 設置 및 技術改善을 도모하는데 利用하고 있다.

3. 大氣擴散 Model

한개의 煙突에서 排出하는 污染物은 처음 단계에서는 煙氣自身가 갖는 運動量과 浮力에 依한 上昇現象이 大氣中 亂流에 의한 擴散現象에 지배되면

서 擴散稀釋되어 地上附近에 도달한다. 이 地點에서 風下方向軸上의 濃度는 서서히 增加해 가면서 最大에 도달한 후 減少해 진다.

以上의 現象은 汚染物質이 煙突에서 나와 1~2 時間以内, 20~30km 以内에서 일어나는 現象이고 그 自體의 化學的 變化는 적고 大氣와의 物理的 稀釋만을 고려하고 있다. 汚染物質의 大氣中 정체시간이 數時間以上 또한 煙突에서 數km 以上 되면 擴散現象外에 汚染物質은 그때까지 擴散課程에서 구름, 水分, 粉塵 및 地表附近에 있는 物質에 接触, 混合·反應·吸着等 集積되면서 排出時와 다른形態를 취하는 率이 크게 된다. 大氣中에서 最終의 汚染物質의 行方은 비의 淨化作用·海水·土壤에混入消散해 끝나게 된다. 이와같은 汚染物의 排出에서 最終消散되기까지의 課程에서 人間生活에 汚染物質의 影響이 없도록 할 必要가 있고 이 때문에 이 허한 課程의 解析과 汚染物의 擴散豫測은 대단히重要하다.

大氣中 排出된 物質의 擴散에 관한 理論的 解析은 輸送理論과 統計的 方法이라는 두가지 手段을 병용해 가면서 進展해 왔다. 그중에 統計的 方法은 그 展開途中에 擴散에 관해서 特別한 가정을 하지 않고 亂流運動의 統計値를 使用하는 數學的 解明方法이다.

3.1 統計的 Model에 依한 一般式

擴散現象을 미시적으로 보면 x, y, z 各方向으로 輸送되는 煙氣의 量은 單位面積當 單位時間에 各各方向의 濃度勾配에 比例한다. 比例係數 k_x, k_y, k_z 을 擴散係數라고 한다. 空間의으로 생각한 微小立体中의 煙氣의 物質收支에서 定常狀態를 가정하고 主軸方向 擴散을 생각하면 排煙濃度 C 에 對하여 다음 基礎方程式을 얻을 수 있다.

$$U \frac{\partial C}{\partial x} = \frac{\partial}{\partial y} (k_y \frac{\partial C}{\partial y}) + \frac{\partial}{\partial z} (k_z \frac{\partial C}{\partial z})$$

여기서 境界條件으로 地表面 $z=0$ 에서 完全反射 $x, y, z \rightarrow \infty$ 일 때 $C \rightarrow 0$ 을 준다. 이때 解는 擴散係數 및 風速分布를 주는 方法에 따라서 여러가지를 얻을 수 있다. 일반적으로 同一한 風速 (U)에서 排煙의 分布가 鉛直方向 (Z 方向) 및 煙氣의 軸에 直角인 水平方向 (y 方向)에 각각 正規分布라면 排煙의 連續性에서 任意點의 濃度가 定해 진다. 즉 排煙의

地面에서 反射한다면

$$C = \frac{Q}{2\pi\sigma_y\cdot\sigma_z U} \exp\left(-\frac{y^2}{2\sigma_y^2}\right) \left\{ \exp\left(-\frac{(Z-H)^2}{2\sigma_z^2}\right) + \exp\left(-\frac{(Z+H)^2}{2\sigma_z^2}\right) \right\}$$

여기서 σ_y , σ_z 은 각각 y 方向, z 方向濃度分布의 標準偏差로서 다음과 같이 煙源에서 거리 x 의 함수이다.

위 式에서 式上濃度를 구하는 式을 얻는다.

$$C = \frac{Q}{\pi\sigma_y\cdot\sigma_z U} \exp\left(-\frac{y^2}{2\sigma_y^2} - \frac{H^2}{2\sigma_z^2}\right)$$

xyz : 座標

Q : 排煙 排出量

U : 風速

H : 煙源有效高度

$$ky := \frac{U}{2x} \sigma_y^2$$

$$kz := \frac{U}{2x} \sigma_z^2$$

4. 大氣擴散 Modeling 電算處理

4 · 1 大氣安定度

大氣安定度는 大氣의 稀釋能力을 評價함에 있어 서 매우 重要하다. 실제 稀釋能力은 亂流의 구조와 強度에 의해서 좌우되며 이러한 양은 高度別 温度差 · 風速 · Wind Shear, 地面의 거친 狀態等에 의해 좌우된다. 따라서 亂流의 直接測定은 이러한 경향들이 고려될뿐만 아니라, 稀釋能力을 보다 확실하게豫測할 수 있다. 大氣의 安定은 強한 逆轉層에 基因하는 것이며 大氣의 稀釋能力이 貧弱한것을 말하며 不安定은 큰 氣溫減率과 관련되어 大氣의 稀釋能力이 좋은 狀態를 말한다.

4 · 2 大氣安定度 分類方法

우리會社에서의 大氣安定度 分類方法은 Pasquill에 依한 大氣安定度 分類方法을 基礎로 하여 氣象台資料를 活用한 日射量指數에 依하여 算出하는 方法과 發電所 氣象資料를 利用한 亂流의 程度(標準偏差)에 依한 方法 두가지를 活用하고 있다.

가. 氣象台 資料(日射量指數)에 의한 安定度分類

原理

(表-1) 大氣의 安定度

Surface Wind Speed (at 10m/m/sec)	Insolation (cal/cm ² /h)			Night	
	Strong	Moderate	Slight	< 3/8 or > 4/8 Low Cloud	
				Thinly Overcast	Cloud
< 2	1	1 ~ 2	2	—	—
2 ~ 3	1 ~ 2	2	3	6	6
3 ~ 5	2	2 ~ 3	3	5	6
5 ~ 6	3	3 ~ 4	4	5	5
> 6	3	4	4	5	5

1. Extremely Unstable
2. Moderately Unstable
3. Slightly Unstable
4. Neutral (daytime)
5. Neutral (Night time)
6. Moderately Stable

나. 發電所 氣象資料에 依한 安定度 分類原理

現在 發電所에서 使用하고 있는 大氣安定度 分類方法은 Pasquill의 安定度 分類方法을 基礎로 하여 10分間 連續平均裝置에 依해 平均化되어 記錄된 風向記録紙에서 風向의 60分間隔 變化曲線으로 부터 最大 風向變化角을 구한 다음 이 變化角을 6等分하고 Scaling Factor (4.5)를 곱하여 風向變化에 대한 標準偏差의 値 ($\sigma\theta$)으로 定하였다.

風向變化에 대한 標準偏差의 値은 大氣安定度와 서로 相關關係를 가지고 있다.

$$\sigma\theta = \frac{A_1 + A_2}{6} \times 4.5$$

여기서

$$A_1 = \theta_{\max} - \theta_{\text{avg}} \quad : \theta_{\max} > \theta_{\text{avg}}$$

$$A_2 = 360 + \theta_{\max} - \theta_{\text{avg}} \quad : \theta_{\max} < \theta_{\text{avg}}$$

$$A_3 = \theta_{\text{avg}} - \theta_{\min} \quad : \theta_{\min} < \theta_{\text{avg}}$$

$$A_4 = 360 + \theta_{\text{avg}} - \theta_{\min} \quad : \theta_{\min} > \theta_{\text{avg}}$$

θ_{\max} =風向角의 最大偏角

θ_{\min} =風向角의 最小偏角

θ_{avg} =平均風向角

4.5=Scaling Factor

各發電所 氣象觀測所로 부터 60分 간격으로 얻어진 大氣安定度의 觀測値는 같은 期間의 風向 · 風速資料와 함께 우리公社에서 開發된 METERO코드를 基礎로 IBM-360Model 電子計算機로 電算 處理하여 氣象綜合頻度係數를 구하고 있다.

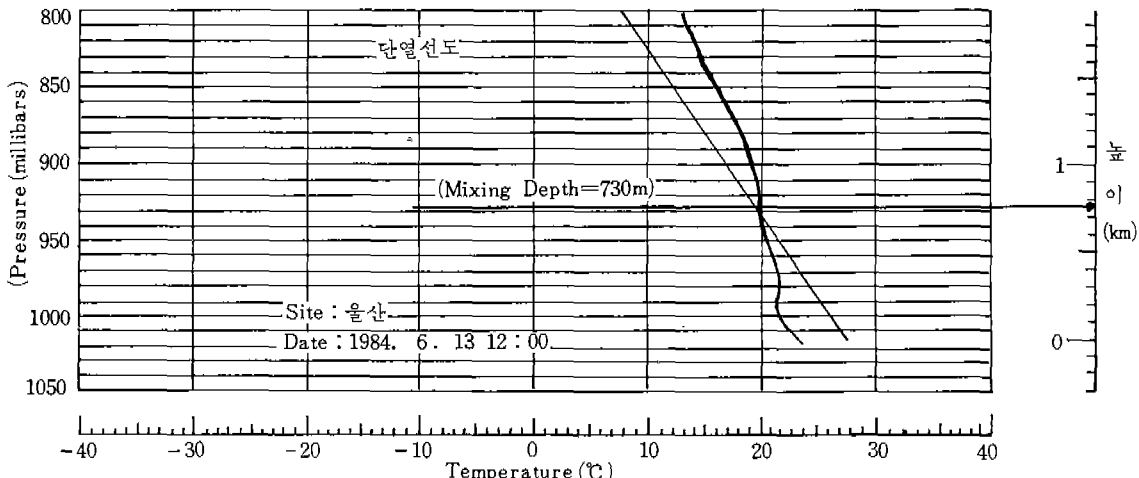
다. 混合層의 높이測定

混合層의 높이(깊이)라 함은 地面으로 부터 比較的大氣의 垂直混合이 왕성하게 일어나는 높이를 말하여 이 層에서는 氣溫減率(高度에 따른 温度變化率)이 大氣乾燥斷熱減率($-9.8^{\circ}\text{C}/\text{km}$)과 같다. 蔚山地域의 混合層 높이는 東海中部를 따라 나타나는 逆轉層 基底面까지의 높이로 定하여진다. 平均的으로 蔚山地域의 混合層 높이는 포항 高層氣象觀測 資料

에 의하면 700m 정도로 推定된다.

發電所에서의 大氣混合高度의 정확한 Data를 얻기 위하여 1983年 1月 Tether Sonde을 購入活用하고 있으며 地上 1km以内의 混合高さ測定할 수 있어 '84年 5月 Tether Sonde 裝備의 Program一部를 수정하여 Air Sonde도 活用할 수 있도록 하였다.

〈그림~ 1〉 大氣混合高度 實測資料



라. 電算入力資料

1) 氣象綜合頻度係數 (Joint Frequency Function)

氣象綜合頻度係數는 地上平均濃度를 計算할 때 $f(K, L, m)$ 形態로 入力되며 K 는 風向, L 은 風速, m 은 大氣安定度이다. 따라서 氣象綜合頻度係數는 16가지의 風向, 6 가지의 風速等級, 6 가지의 大氣安定度等級에 依하여 이루어진 576가지의 조합별로 각각의 相對發生頻度이다. 이를 모두 合하였을 때는 1.0이 되어야 한다.

가. 測候所 氣象資料를 利用, 氣象綜合頻度係數 구하는 方法

全國 特別對策地域 大氣管理에 關한 研究(KAIST 發行 1979)報告書에 상세히 紹介되어 있으므로 省略
나. 發電所 氣象資料를 利用, 氣象綜合頻度係數 구하는 方法

이미 앞에서 說明한 大氣安定度等級(6等級)風向(16方向) 風速等級(16等級)의 576가지 頻度의 合이 1.0이 되도록 정확히 處理하여 入力한다.

2) 排出源 資料調查

汚染物質 排出源은 人別하여 點污染源 (Point Source) 面污染源 (Area Source) 과 移動污染源 (Mobile Source)으로 分類한다.

點污染源은 年間 SO_2 10Ton以上을 排出하는 業體로서 火力發電所 大規模工場, 產業施設 大型보일러를 갖고 있는 관공서, 아파트, 學校, ホテル等으로 調查項目은 汚染源의 位置, 排出量, 煙突높이, 煙突排出口 直徑, 排出速度, 排出ガス, 温度等이다.

面污染源은 年間 SO_2 10Ton以下로 排出하는 소규모 業體로서 난방用 燃料를 使用하는 一般住宅, 商業用 소규모 보일러, 소각로, 소규모 工場이나 產業施設로서 해당 Grid에 대하여 均一하게 排出되는 排出源을 對象으로 한다.

對象對象 洞·里單位別 人口數, 人口分布, 密度等 面污染源의 調査項目을 調査한다.

移動污染源은 自動車·汽車·선박·비행기等 保有台數, 平均走行距離, 距離當 燃料消耗率, 주요간선도로, 철도거리를 調査한다.

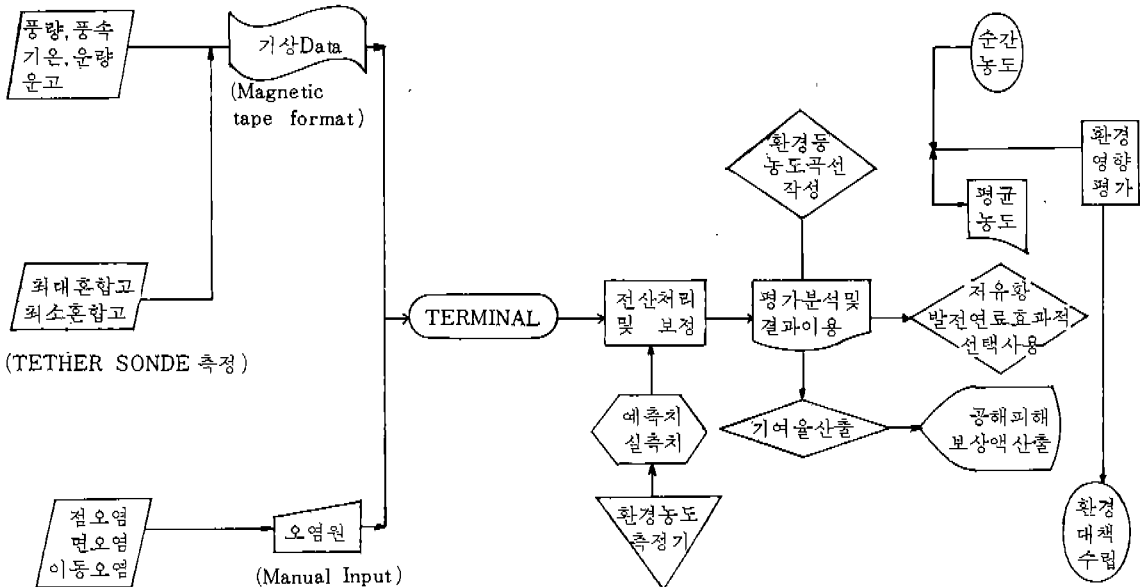
마. Modeling適用

앞에서 說明한 바와 같이 統計 Model 中에서 地

域特性 目的에 따라서 CDMQC, VELLEY, CRSTER Model 을 利用, 周邊地形에 알맞는 Modeling을 선택함으로써 環境濃度豫測을 정확히 하고 環境汚染 防止施設의 設置效果를 極大化 하는데 있다.

여기서 蔚山地域 周邊大氣質 擴散豫測에서 發電所와 測候所 氣象資料를 入力하여 結果를 比較해 보고자 한다.

〈그림-2〉 우리公社 대기학산 전산모델링 운용계통도



1) 蔚山測候所 對 發電所 氣象資料 利用時의 安

定度等級, 風速等級 風向 發生頻度 電算結果

가) 안정도 發생빈도 순위

측후소	4 등급 (38.3%)	6 등급 (24.6%)	3 등급 (14.5%)	5 등급 (14.4%)	2 등급 (7.3%)	1 등급 (0.9%)
발전소	6 등급 (53.2%)	5 등급 (13.3%)	1 등급 (9.9%)	3 등급 (9.9%)	4 등급 (8.5%)	2 등급 (6.1%)

나) 풍속등급 發생빈도 순위

측후소	1 등급 (52.9%)	2 등급 (21.0%)	3 등급 (17.0%)	4 등급 (8.7%)	5 등급 (0.4%)	6 등급 (0 %)
발전소	1 등급 (28.5%)	2 등급 (24.3%)	3 등급 (21.3%)	4 등급 (17.2%)	5 등급 (6.5%)	6 등급 (2.2%)

다) 풍향별 發생빈도 순위

측후 소	SW	SSW	ESE	N	NNW	ENE	S E	NNE	NE	WSW	NW	S	SSE	E	W	WNW
13.6%	9.4%	9.3	8.4	7.7	7.4	6.7	5.5	5.5	4.7	4.6	4.6	3.9	3.8	2.8	2.1	
발전 소	SSW	SW	N	WSW	NNE	NW	W	NNW	NE	S	ENE	ESE	E	S E	NNW	SSE

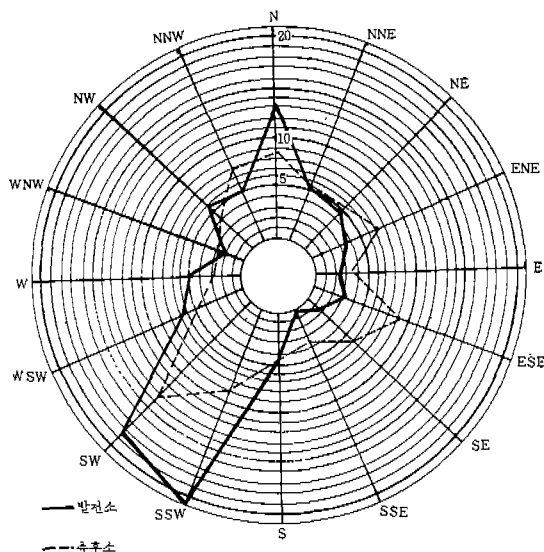
라) 육풍 해풍 發생빈도

측후소	육풍 : 35.8%	해풍 : 64.2%
발전소	육풍 : 41.5%	해풍 : 58.5%

마) 풍속, 해풍 구분

육 풍	N, NNE, WSW, W, WNW, NW, NNW
해 풍	NE, ENE, E, ESE, SE, SSE, S, SSW, SW

2) 發電所 및 測候所氣象資料풍배도



3) 蔚山火力發電所周圍 6個地點에 SOx自動測定器를設置運營하여測定한 '82 5月環境濃度

지역	A	B	C	D	E	F	비고
평균	24	51	44	24	55	44	○단위: ppb ○일일 20시간 이상 기준

4) 發電所外 測候所 資料를 利用한 環境濃度 實測對豫測值의 相關係數 및 有意性 檢討

번호	좌표		A		B		상관관계	비고
	X	Y	(예측)	(실측)	(예측)	(실측)		
1	231.2	224.8	35	44	47	44	0.75	0.64
2	232.4	224.3	60	43	54	43		1. 고민의 유의성 5%~1%
3	232.4	224.5	45	54	37	54		0.63~0.77
4	233.9	223.8	42	44	35	44		2. A: 발전소 B: 측후소
5	233.2	229.3	27	27	18	27		3. 단위(ppb)
6	229.0	228.4	14	35	28	35		
7	228.2	226.2	12	19	32	19		
8	230.1	225.3	16	33	38	33		
9	228.7	225.5	10	24	31	24		
10	230.9	224.1	34	51	51	51		
합계		295	374	371	374			

사. 氣象 input 資料活用上 差異點

1) 測候所 氣象資料

新設敷地의 環境影響評價와 他污染源과의 公害被害度, 寄與率紛爭時 基準點 設定의 용이한 長點이

있으나 夜間Data의 신빙성이 不足하고 신속한 資料를 얻기가 어렵고, 一部 汚染源에 대해서는 地形의 영향에 따라 풍향이 상이하게 나타남을 發見 할 수 있다.

2) 發電所 氣象資料

地形을 고려한 하나의 固定污染源의 排煙擴散狀態의 風向을 正確히 算出할 수 있고 신속히 資料를 구할 수 있어 瞬間環境濃度 算出에 利用할 수 있는 長點이 있으나 Data의 特殊性에 따라 誤差發生要因이 수반되는 短點이 있다. 우리會社에서는 84年 8月頃 Data관련의 誤差를 줄이기 위하여 美國 Clamato社의 “σ. 自動測定 安定度分類” 氣象裝備를 구입하여 우선 仁川蔚山麗水火力發電所에 裝置運營할 豫定이다. 향후 發電所 氣象資料와 瞬間污染 Source入力自動化를 電算化할 豫定으로 推進中에 있다.

아. 低黃分 燃料油 使用에 따른 環境濃度 檢討

蔚山地域 發電所에 2.5% 低黃分 燃料油使用時에 地域環境에 미치는 影響을 氣象學的 擴散모델(CD MQC)을 利用한 電算化 結果는

가. 蔚山, 濱南火力에 2.5%BC油를 全量 사용하더라도 蔚山地域 環境濃度는 1.6~0.7ppb의 濃度減少 밖에 안되며

나. 蔚山全体에 미치는 寄與率은 4.4~2.5%로 나타났다.

다. 發電所의 黃酸化物 排出量은 75%를 차지하나 環境濃度 및 寄與率이 적은 것은 해안가에 위치하고 있고 또한 煙突이 他污染源에 비해 월등히 높아 擴散이 큰 것으로 생각된다.

라. 따라서 黃酸化物 環境濃度 低減을 위하여서는 發電所보다도 다른 소규모排出事業場에 低硫黃油를 보다 많이 使用하는 것이 局地地域의 環境保全對策을 樹立하는데 보다 效果的일 것으로 생각된다.